



簡報大綱

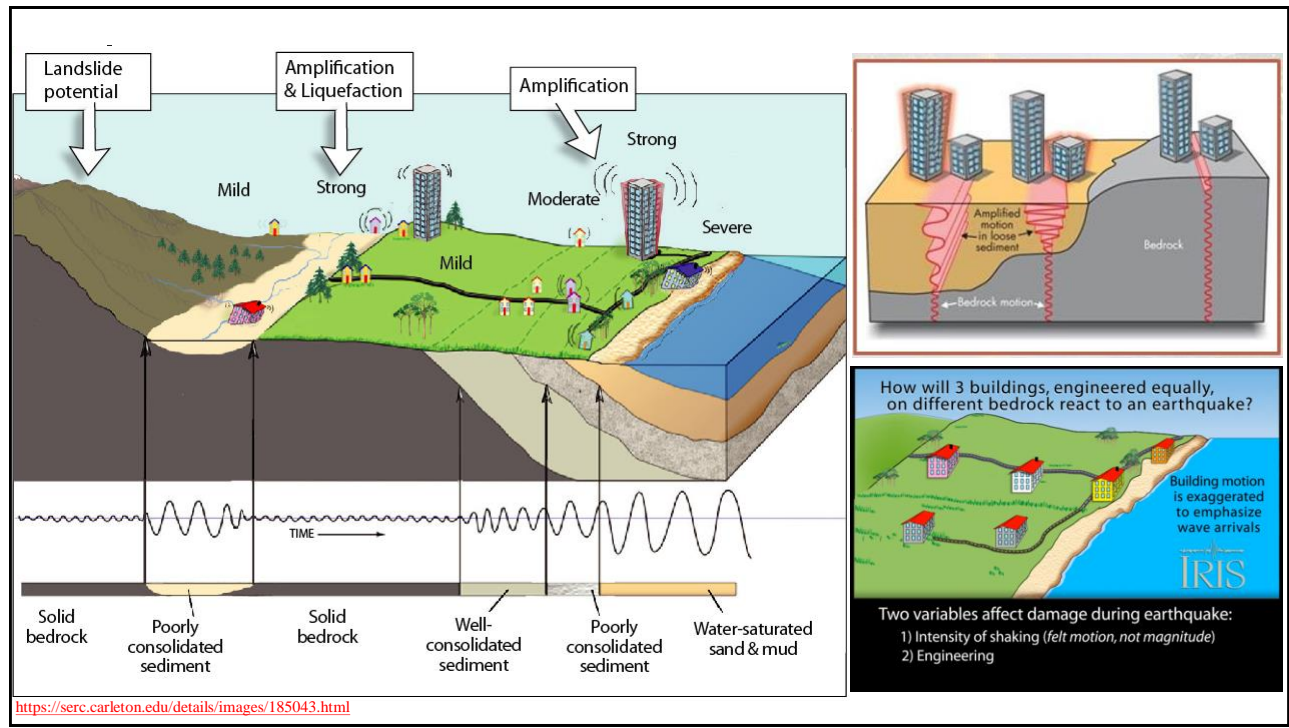
- 1 前 言
- 2 過壓密效應對抗液化強度影響及相關研究
- 3 臺北盆地過壓密比OCR特性分析
- 4 臺北盆地液化潛能分析
- 5 結論與建議

前 言

1

The past is the key to the future

前事不忘 後事之師



<https://serc.carleton.edu/details/images/185043.html>

1999/09/21集集地震 ($M_w=7.6$) ($M_L=7.3$)

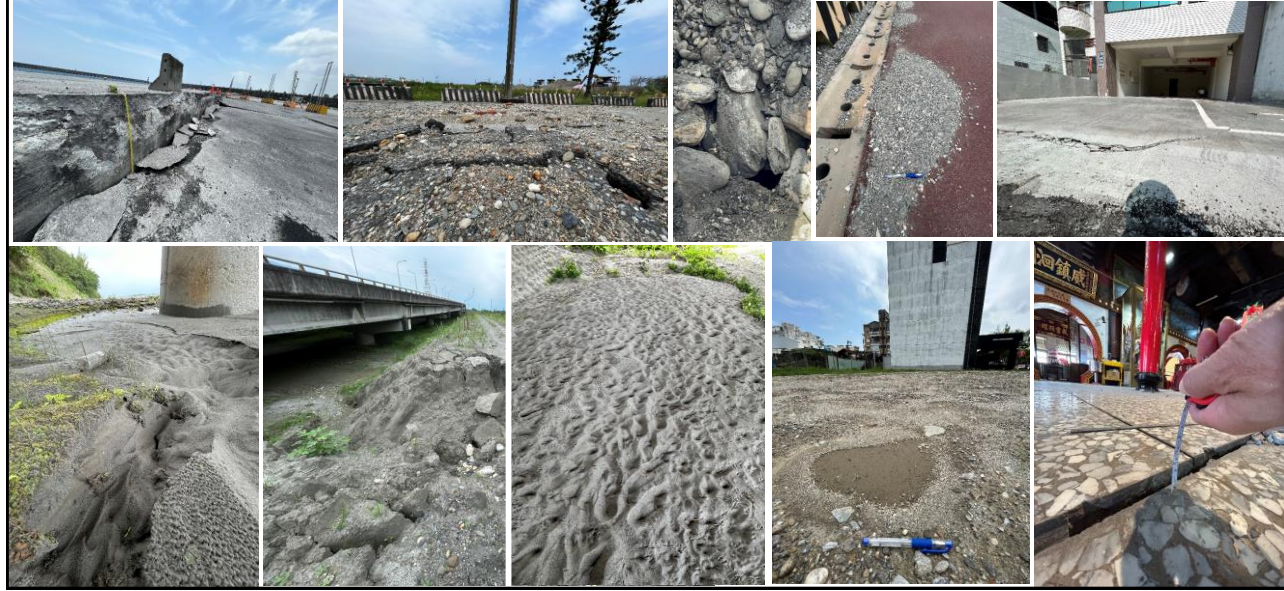


2016/02/06美濃地震 ($M_w=6.4$) ($M_L=6.6$)





2024/03/04 花蓮地震 (Mw=7.4) (M_L=7.2)



Youd等人所提出之強震作用下各種沉積地形單元的液化敏感程度

| Type of deposit | General distribution of cohesionless sediments in deposits | Likelihood that cohesionless sediments, when saturated, would be susceptible to liquefy (by age of deposit) | | | |
|-----------------------------|--|---|----------|-------------|----------------|
| | | <500years | Holocene | Pleistocene | Prepleistocene |
| Continental deposits | | | | | |
| River channel | Locally variable | Very high | High | Low | Very low |
| Flood plain | Locally variable | High | Moderate | Low | Very low |
| Alluvial fan and plain | Widespread | Moderate | Low | Low | Very low |
| Marine terraces and plains | Widespread | ---- | Low | Very low | Very low |
| Delta and fan-delta | Widespread | High | Moderate | Low | Very low |
| Lacustrine and playa | Variable | High | Moderate | Low | Very low |
| Colluvium | Variable | High | Moderate | Low | Very low |
| Talus | Widespread | Low | Low | Very low | Very low |
| Dunes | Widespread | High | Moderate | Low | Very low |
| Loess | Variable | High | High | High | Very low |
| Glacial till | Variable | Low | Low | Very low | Very low |
| Tuff | Rare | Low | Low | Very low | Very low |
| Tephra | Widespread | High | High | ? | ? |
| Residual soils | Rare | Low | Low | Very low | Very low |
| Sebkha | Locally variable | High | Moderate | Low | Very low |
| Coastal zone | | | | | |
| Delta | Widespread | Very high | High | Low | Very low |
| Estuarine | Locally variable | High | Moderate | Low | Very low |
| Beach | | | | | |
| High wave energy | Widespread | Moderate | Low | Very low | Very low |
| Low wave energy | Widespread | High | Moderate | Low | Very low |
| Lagoonal | Locally variable | High | Moderate | Low | Very low |
| Fore shore | Locally variable | High | Moderate | Low | Very low |
| Artificial | | | | | |
| Uncompacted fill | Variable | Very high | --- | --- | --- |
| Compacted fill | Variable | Low | --- | --- | --- |

| Era | Period & Subperiod | Epoch & Subepoch | Age (Ma) | |
|-----------|--------------------|------------------|--------------|--------|
| | | | Holocene | GSSP |
| Cenozoic | Quaternary | Early | 'Tarantian' | 0.012 |
| | | M. | 'Ionian' | 0.781 |
| | | | 'Calabrian' | 1.806 |
| | | | Gelasian | 2.588 |
| | Tertiary | Neogene | Piacenzian | 3.600 |
| | | | Zanclean | 3.332 |
| | | | Messinian | 2.532 |
| | | Paleogene | Tortonian | 7.246 |
| | | | Serravallian | 11.608 |
| | | | Langhian | 13.65 |
| Paleocene | Oligocene | Burdigalian | 15.97 | |
| | | Aquitanian | 20.43 | |
| | Eocene | Chattian | 23.03 | |
| | | Rupelian | 28.4 | |
| | | Priabonian | 33.9 | |
| Paleocene | Bartonian | 37.2 | | |
| | Lutetian | 40.4 | | |
| | Ypresian | 48.6 | | |
| | Thanetian | 55.8 | | |
| Cenozoic | Selandian | 58.7 | | |
| | Danian | 61.7 | | |
| | E1 Kef, Tunisia | 65.5 | | |

11

2016年2月6日美濃地震液化案例

安南區惠安街
位於舊埤塘區
(台灣堡圖；中研院)

12

2018年2月6日花蓮地震液化案例

蘋果即時
對照1931年古地圖顯示：
雲門翠堤大樓位於舊河道
?

(張文彥等, 2018)

國盛二街與商校街口之雲門翠堤大樓位於舊河道上
旁側道路及多處建物有噴砂及下陷、傾斜現象

每1小時又再持續傾斜5公分！ 搜救任務暫停

30033 出版時間：2018/02/07 16:53

6

0304桃源地震 vs. 0206美濃地震液化點位

20100304 桃源地震 台南新化北勢里土壤液化



Fu-Kuo Huang

民國105年2月6日 美濃地震北勢里土壤液化↓

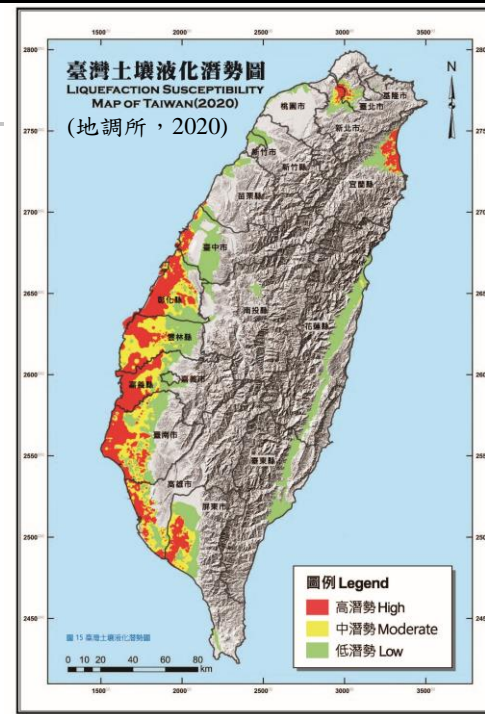
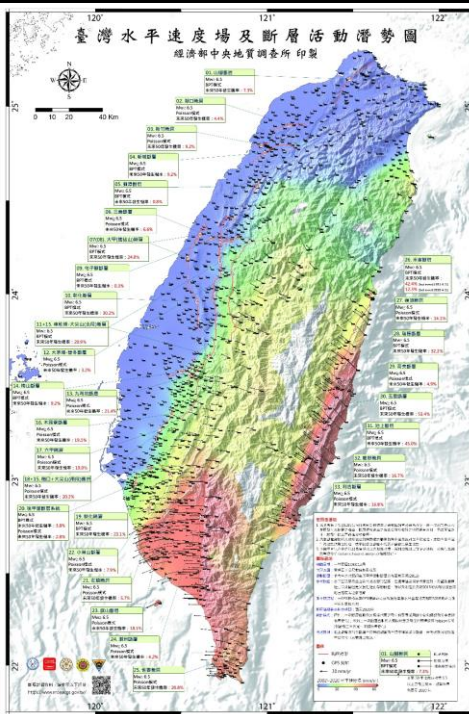
20160206 美濃地震 台南新化北勢里土壤液化



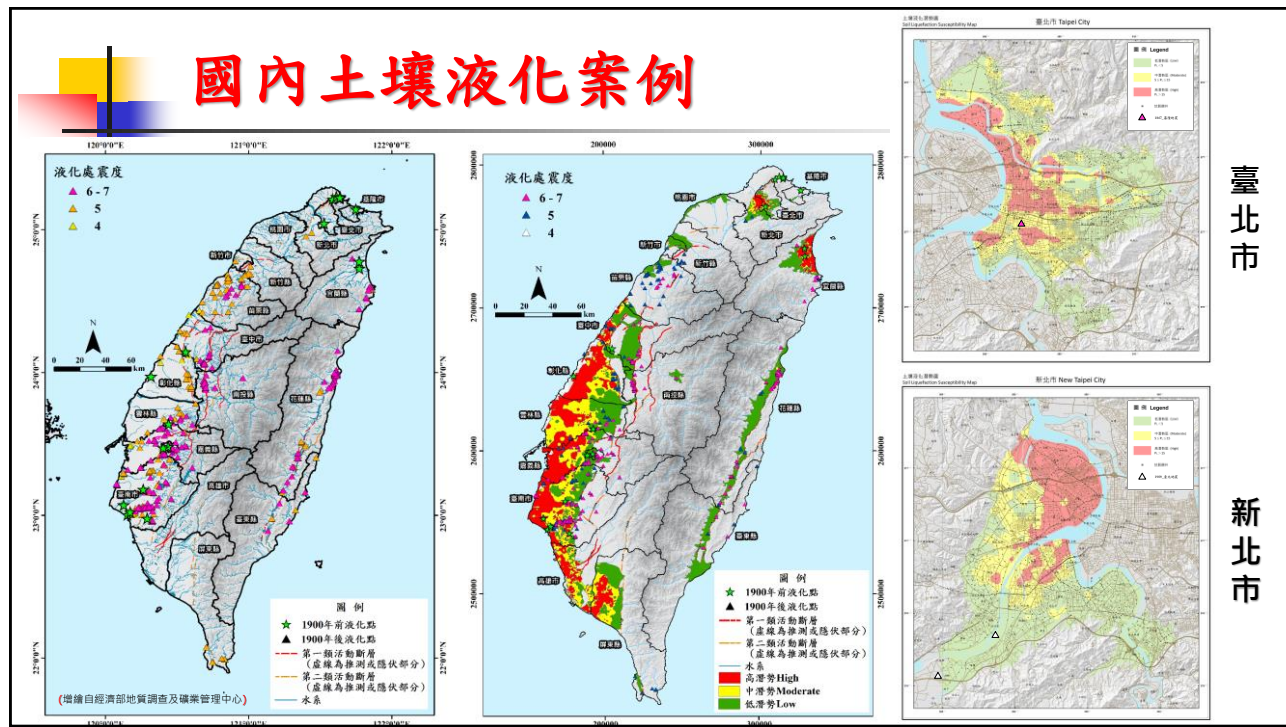
Fu-Kuo Huang

↑民國99年3月4日 桃源地震北勢里土壤液化

(黃富國等人, 2016)

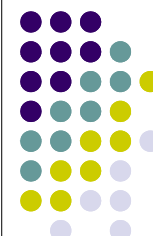


國內土壤液化案例



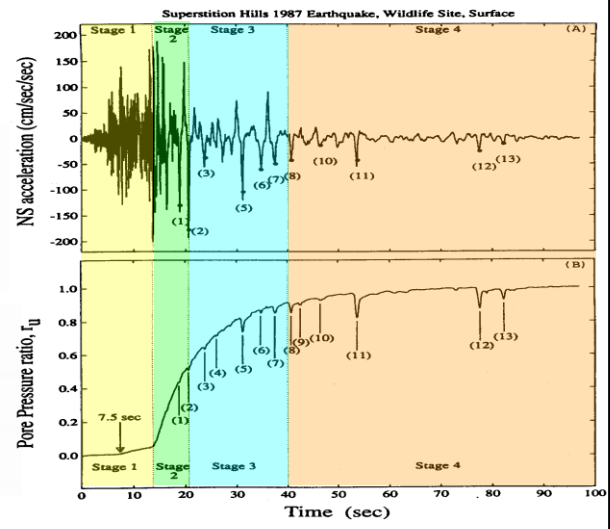
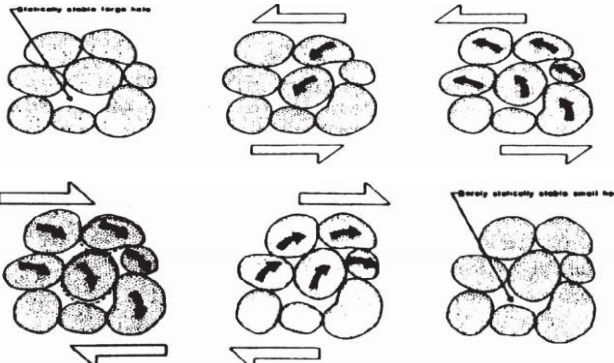
過壓密效應對抗液化 強度影響及相關研究

2



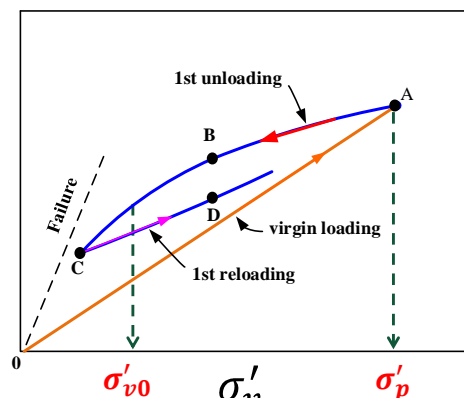
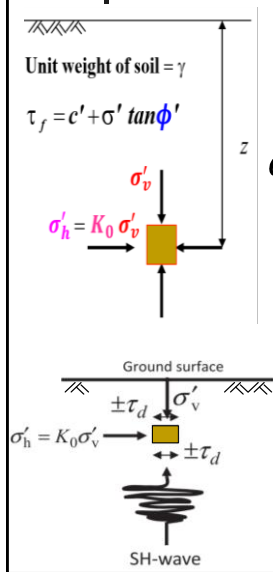
土壤液化機制 & 液化潛能評估影響因素

Packing changes of particulate group during cyclic loading (Youd, 1977)



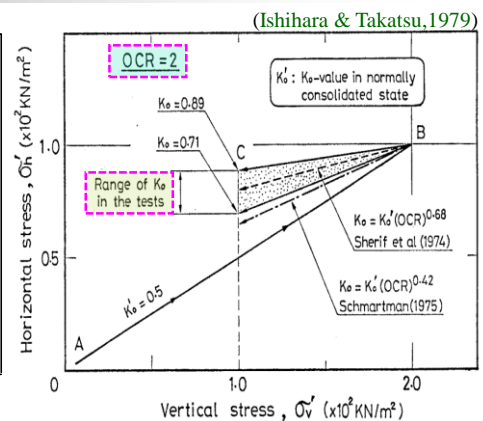
(Youd et al., 2004)

液化潛能評估影響因素-OCR & K₀



$$OCR = \frac{\sigma'_p}{\sigma'_{v0}}$$

$$K_0 = \frac{\sigma'_h}{\sigma'_v}$$



$$K_0^{OC} = K_0^{NC} (OCR) \sin \phi'$$

(Mayne and Kulhawy, 1982)

臺北盆地 - OCR 特性

(Hwang & Moh, 2020)

Overconsolidation Ratio, OCR

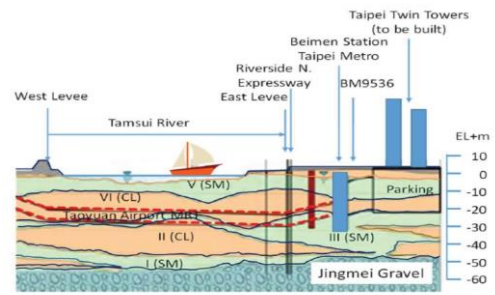
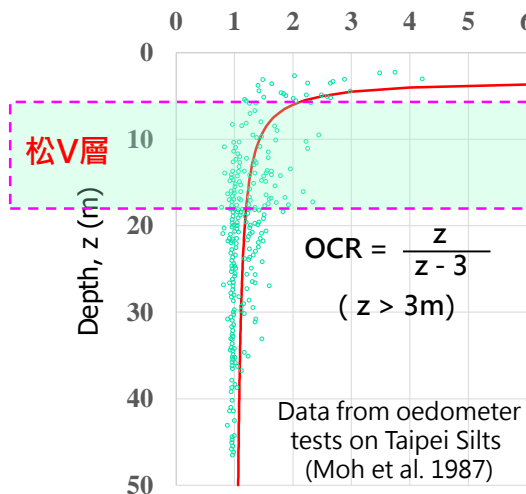


Figure 10 Geological profile under the Tamsui River and the vicinity

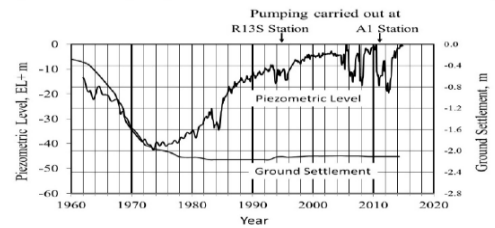
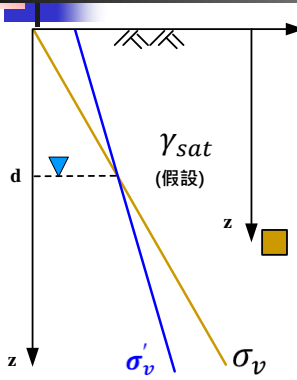
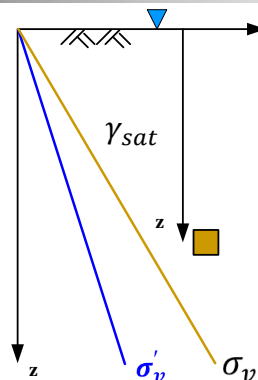


Figure 5 Piezometric level in the Jingmei Formation and ground settlement in central area of Taipei City

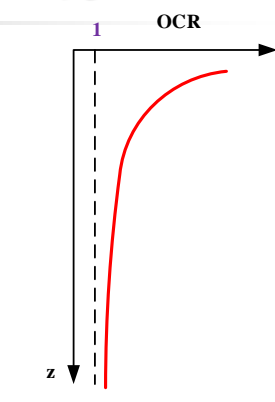
液化潛能評估影響因素-地下水位變化 vs. OCR



$$\sigma'_{v1} = \gamma_{sat} z - \gamma_w(z - d) \\ = \gamma' z + \gamma_w d$$

(若水位d很深: $\sigma'_{v1} = \gamma_m z$)

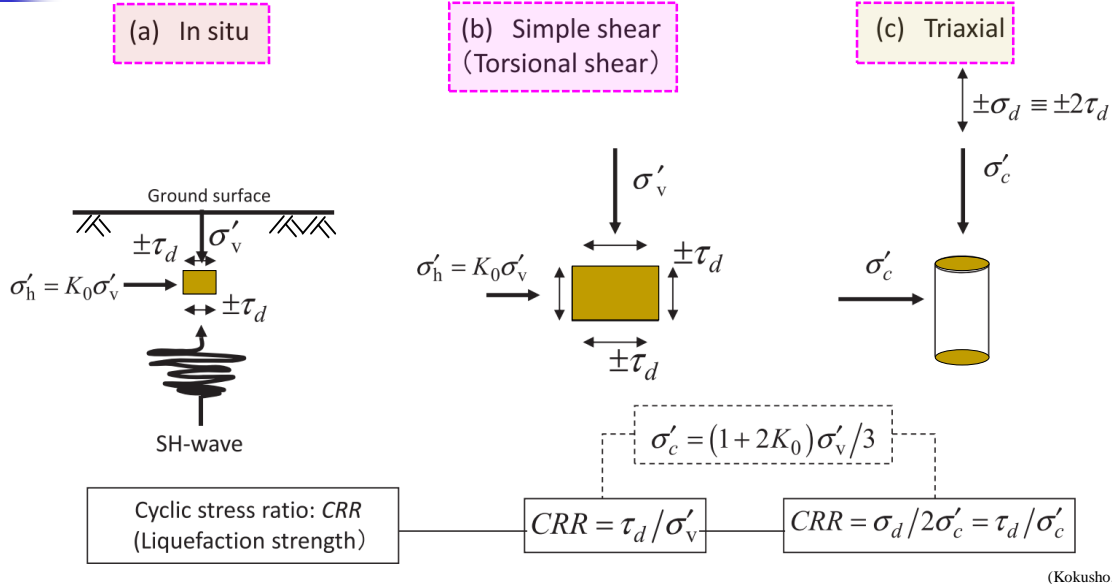
$$\sigma'_{v2} = \gamma_{sat} z - \gamma_w z \\ = \gamma' z$$



$$\text{OCR} = \frac{\sigma'_{v1}}{\sigma'_{v2}} = 1 + \frac{\gamma_w d}{\gamma' z}$$

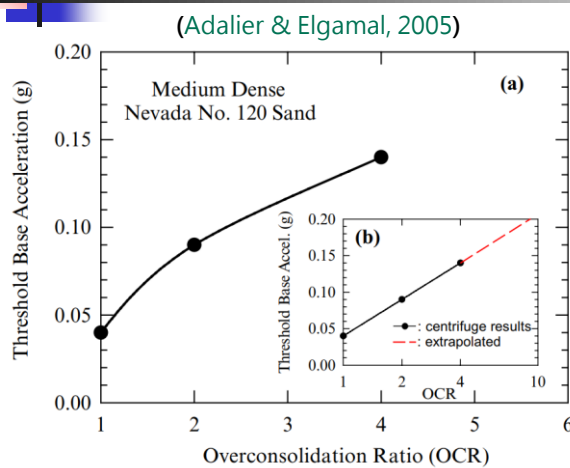
(若水位d很深: $\text{OCR} = \frac{\sigma'_{v1}}{\sigma'_{v2}} = \frac{\gamma_m}{\gamma'}$)

液化潛能評估影響因素- 試驗模擬 OCR & K_0

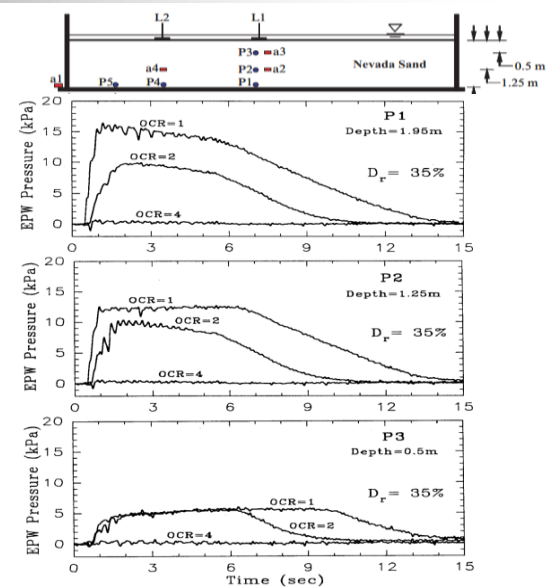


(Kokusho, 2016)

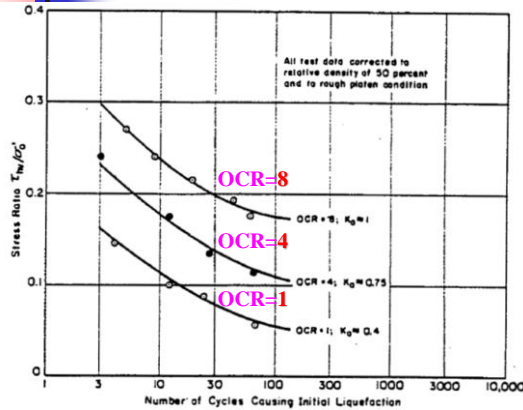
液化潛能評估影響因素- OCR effect



$$a_t = 0.04 + 0.1661 \log(OCR)$$



抗液化強度CRR & 過壓密比OCR之關係(1/2)



Influence of Initial Principal Stress Ratio on Stresses Causing Liquefaction in Simple Shear Tests (Seed and Peacock, 1971)

$$\left(\frac{\tau_l}{\sigma_v'}\right)_{A, OC} = \frac{1+2K_0}{3} \sqrt{OCR} \left(\frac{\tau_l}{\sigma_v'}\right)_{I, NC}$$

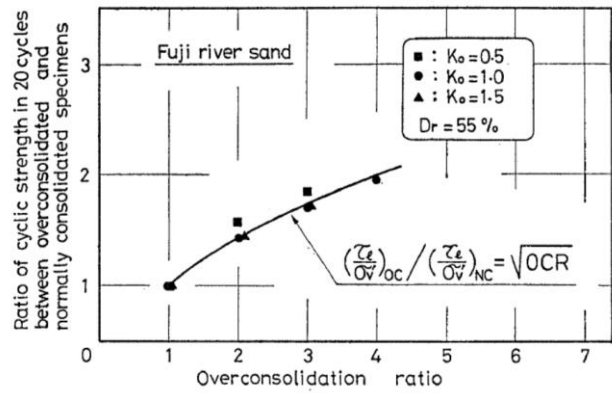
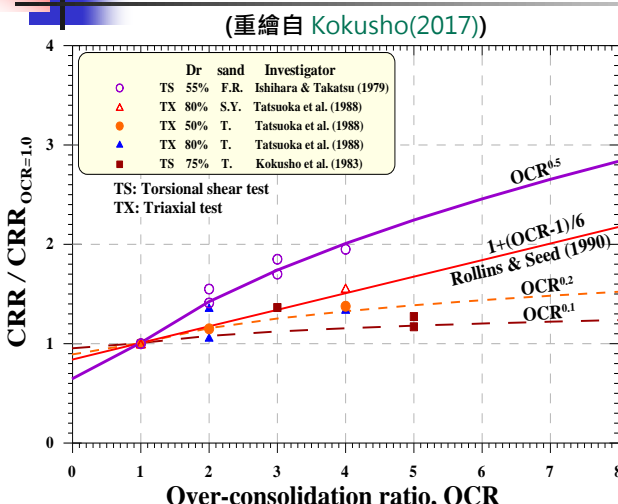


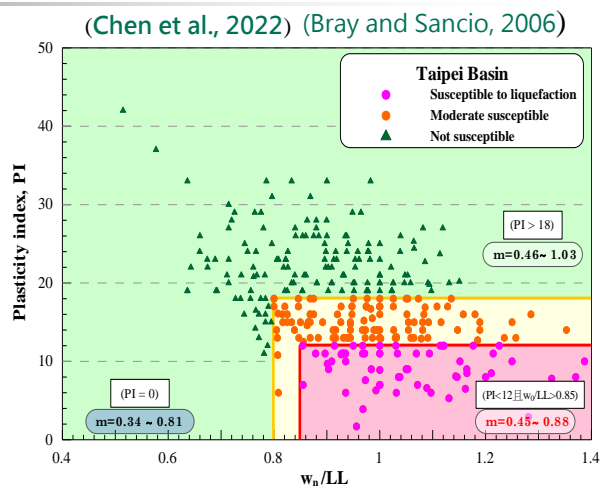
Fig. 7. Cyclic strength increase due to overconsolidation
(Ishihara & Takatsu, 1979)

$$\left(\frac{\tau_l}{\sigma_v'}\right)_{OC} = \boxed{\sqrt{OCR}} \left(\frac{\tau_l}{\sigma_v'}\right)_{NC}$$

抗液化強度CRR & 過壓密比OCR之關係(2/2)



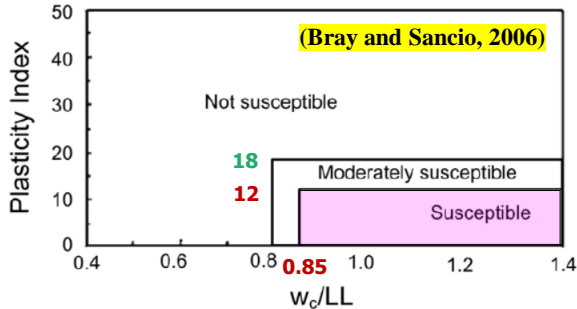
$$CRR_{OC} = CRR_{NC} (OCR)^m$$



$$CRR_{M=7.5, OC} = CRR_{M=7.5, NC} (OCR)^m$$

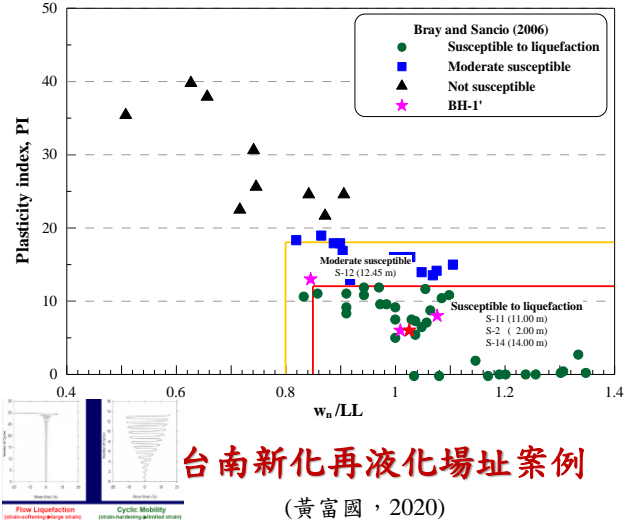
土壤液化潛能評估-細顆粒土壤反覆流動性之考慮

Cyclic Mobility → limited strain

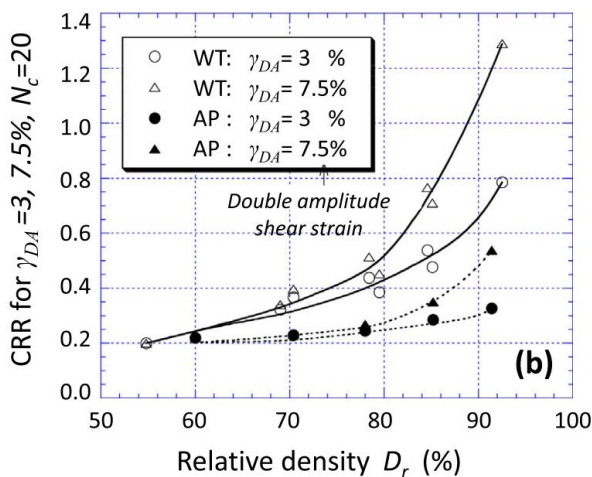


Focus on soil mineralogy & sensitivity:

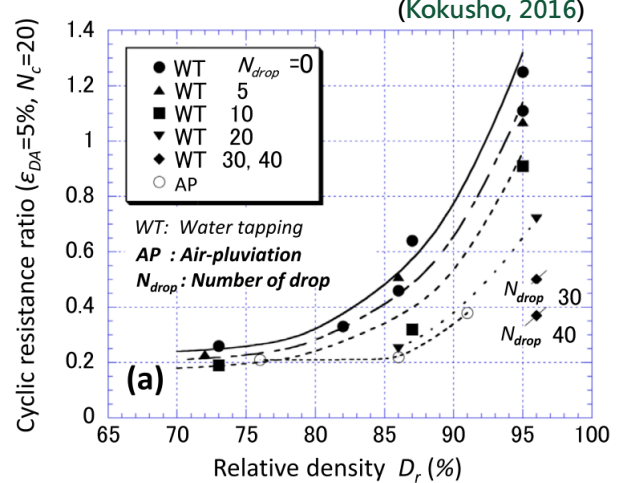
- Soils with $PI \leq 12$ & $w_c/LL \geq 0.85$ can undergo **cyclic mobility**
- Other soils can undergo severe strength loss



液化潛能評估影響因素- soil fabric effect

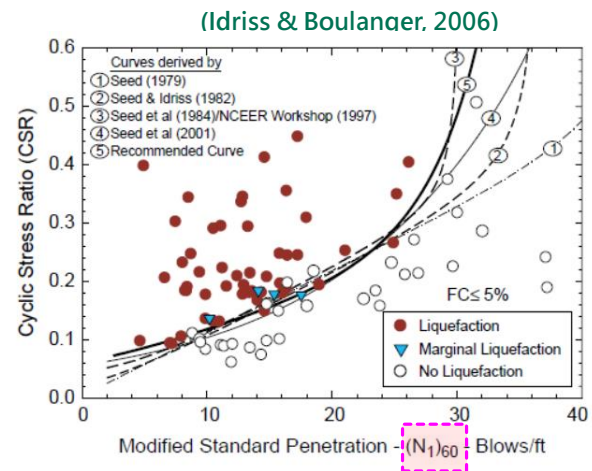
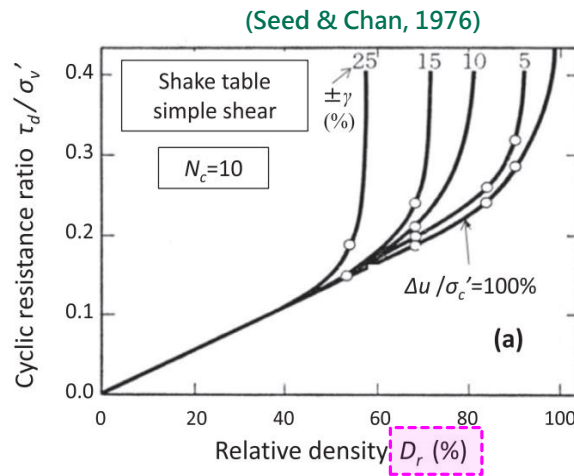


Effect of sample preparation methods on CRR of clean sands



Effect of disturbance on liquefaction resistance

常用液化潛能評估法- Seed法之發展歷程

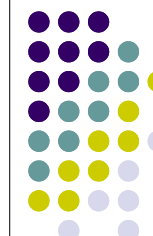


- SPT 與 Dr 有很好的相關性
- 但 SPT 並無法完全反映 soil fabric 對 CRR 的效應

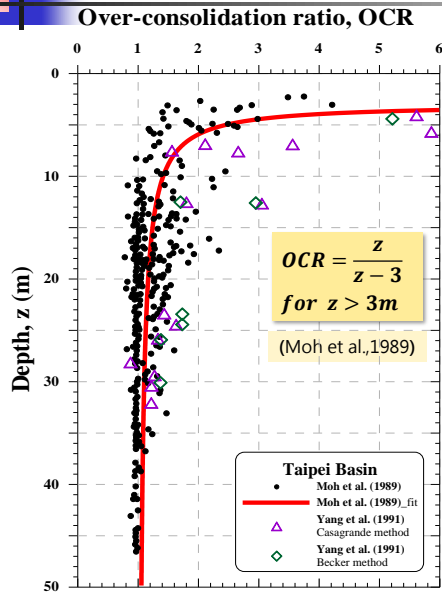
Fig. 15. Curves relating CRR to $(N_1)_{60}$ published over the past 24 years for clean sands and the recommended curve for $M=7\frac{1}{2}$ and $\sigma'_{vo}=1$ atm (≈ 1 tsf).

臺北盆地過壓密比 OCR特性分析

3



臺北盆地土層過壓密比OCR與深度z之關係



◆ 淺層土壤OCR較大之原因

- 長期受地下水位升降影響
- 溫度乾縮
- 毛細作用
- 工程施作
- ...

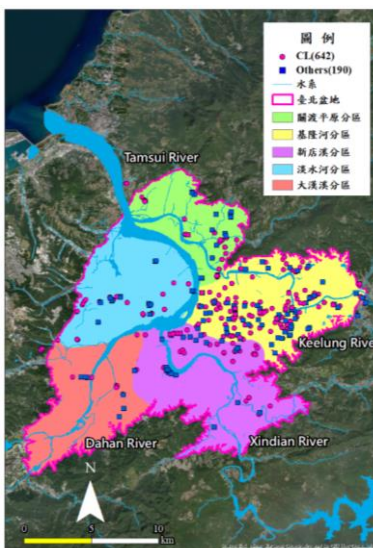
◆ OCR可能超過水位升降影響之理論最大值2.0

- ◆ 在易發生土壤液化損害之20m深度範圍內，地層之OCR值明顯大於1.0，將可提高土壤之抗液化強度CRR，降低可能之液化災損

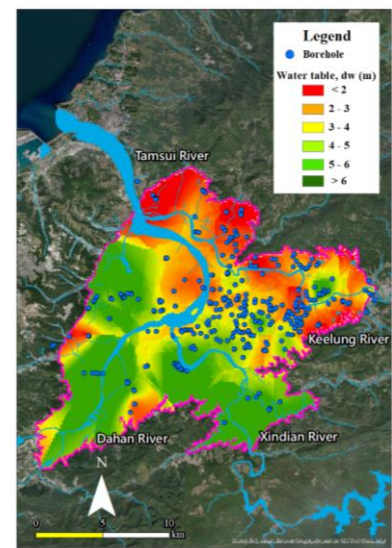
OCR分析資料來源

| 地質分區 | 關渡平原 | 基隆河 | 新店溪 | 淡水河 | 大漢溪 | 總計 |
|----------|------|-----|-----|-----|-----|------|
| 鑽孔數目 | 87 | 363 | 112 | 77 | 19 | 658孔 |
| 壓密試驗資料組數 | 118 | 460 | 137 | 96 | 21 | 832組 |

各不同地質分區進行壓密試驗之鑽孔及組數分布情形

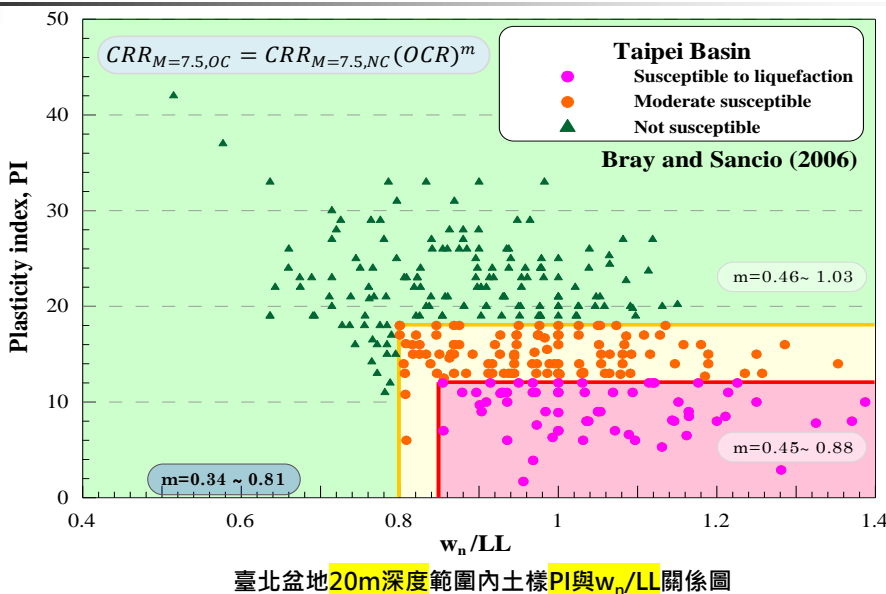


進行壓密試驗鑽孔之空間分佈圖



進行壓密試驗鑽孔之水位分佈圖

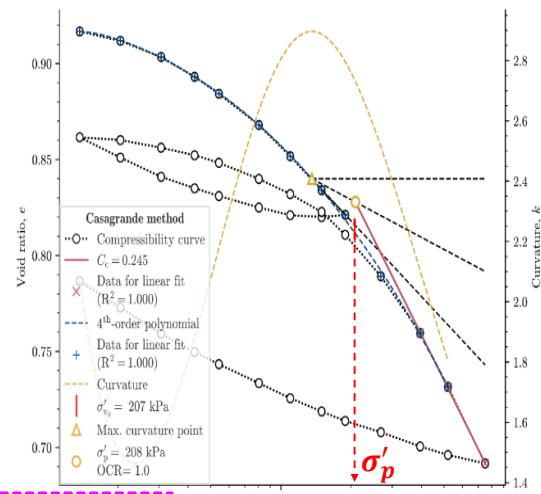
OCR分析資料特性



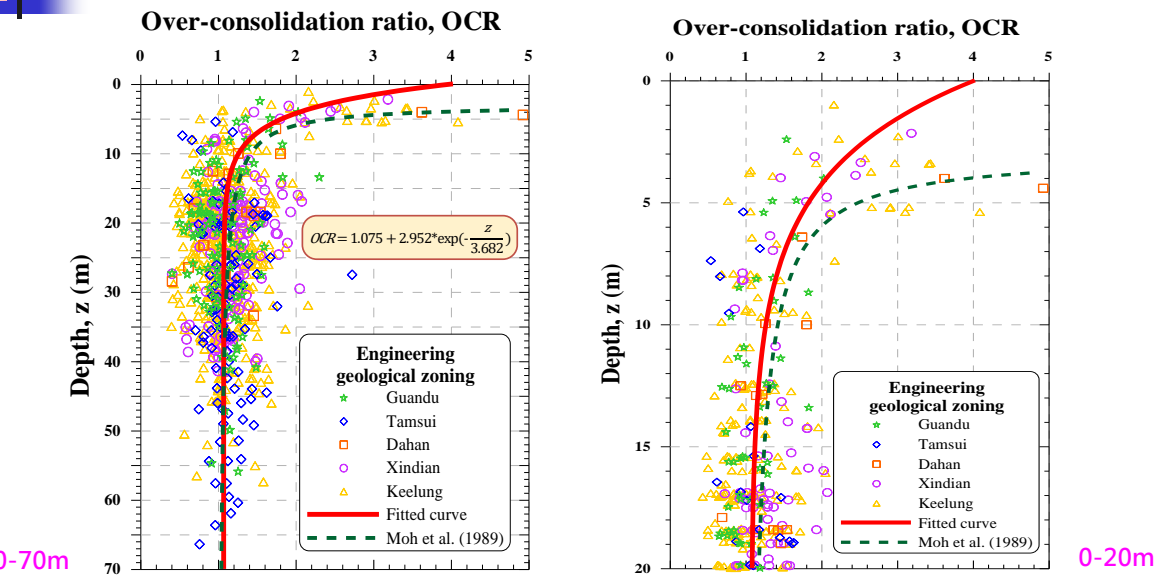
預壓密壓力 σ'_p 及過壓密比 OCR 推估方法

- 單向度壓密試驗壓密曲線
- ↓
- 數化軟體提取壓密試驗資料點
- ↓
- 資料點匯入 pySigmaP 程式
- ↓
- 計算壓縮指數 C_c 之直線並擬合求出 MCP
- ↓
- Casagrande 圖解法求取 σ'_p

預壓密壓力 σ'_p 推估流程

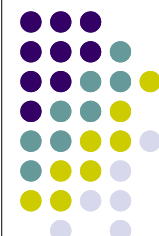


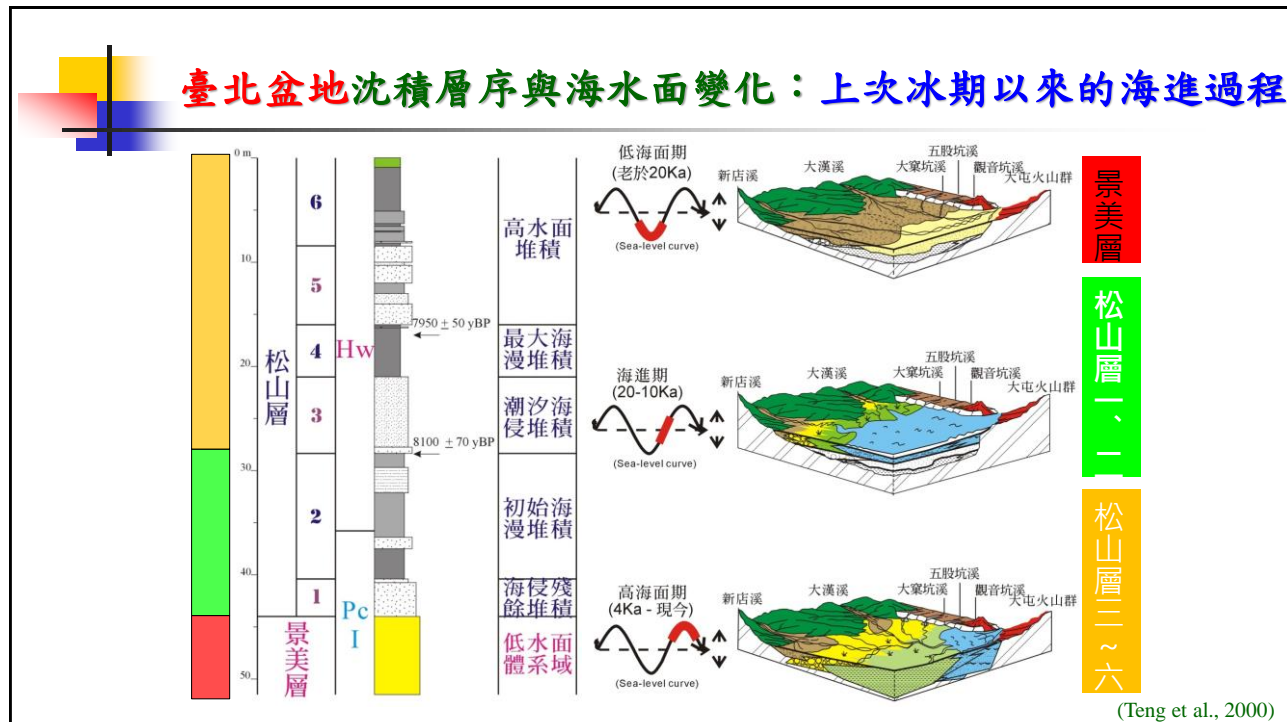
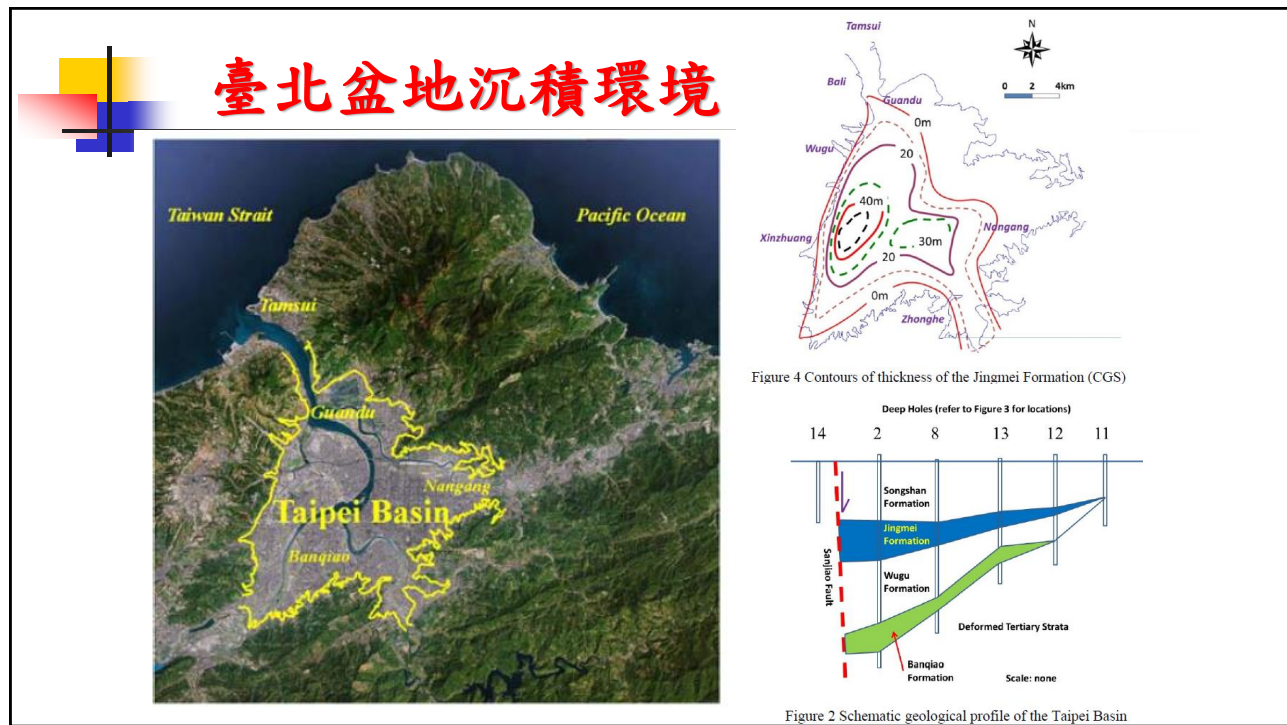
過壓密比OCR推估結果



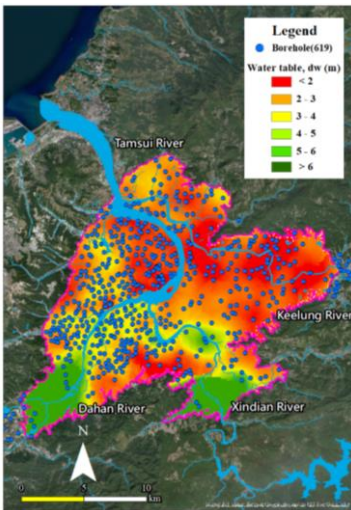
臺北盆地 液化潛能分析

4





鑽孔資料及震區參數



設計地震與最大考量地震參數

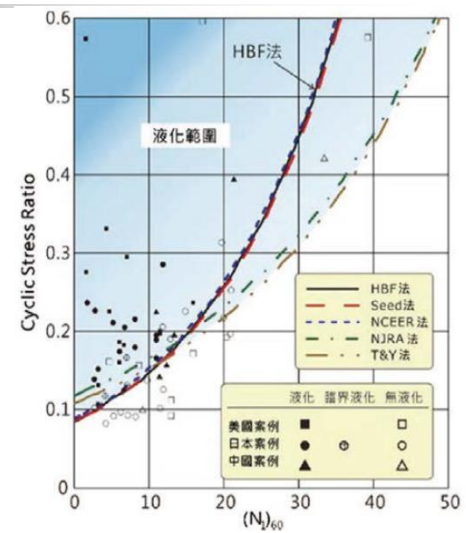
| 地震等級 | 地震規模 (Mw) | 最大地表加速度(g) |
|--------|-----------|------------|
| 設計地震 | 7.3 | 0.24 |
| 最大考量地震 | 7.5 | 0.32 |

設計地震地表加速度: $PGA_{DS} = 0.4g \times S_{DS}$ 最大考量地震加速度: $PGA_{MS} = 0.4g \times S_{MS}$

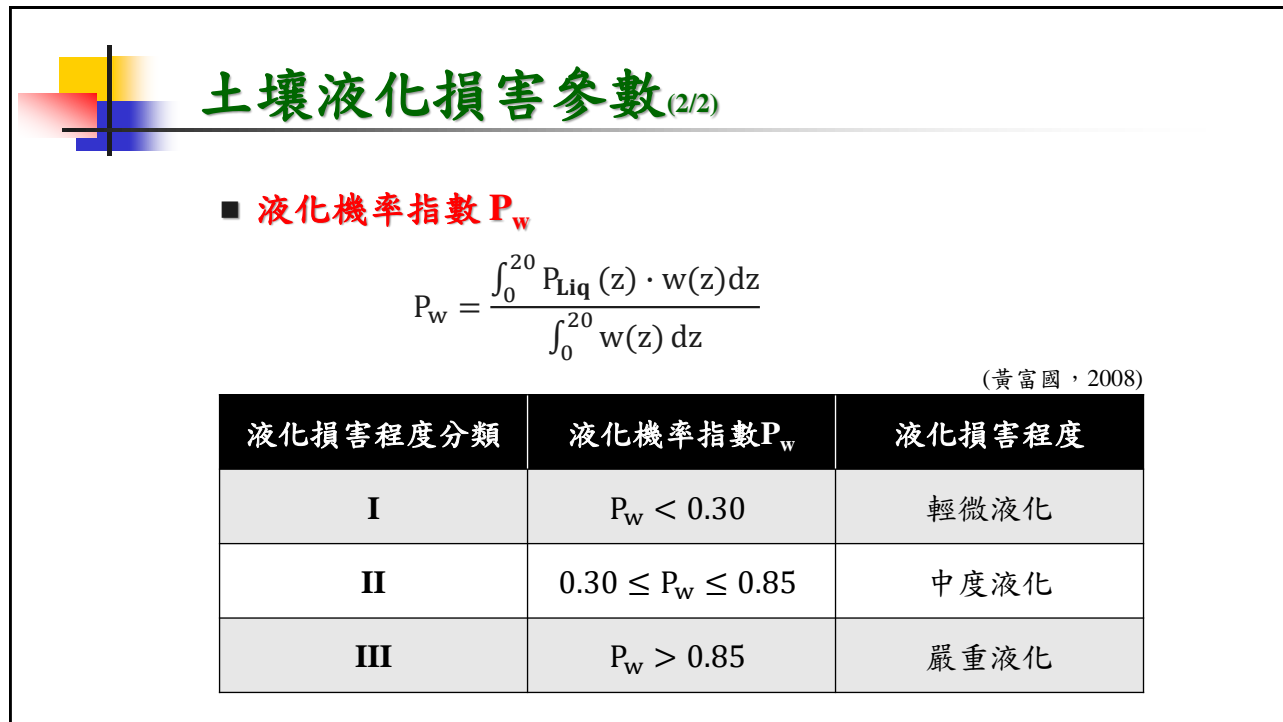
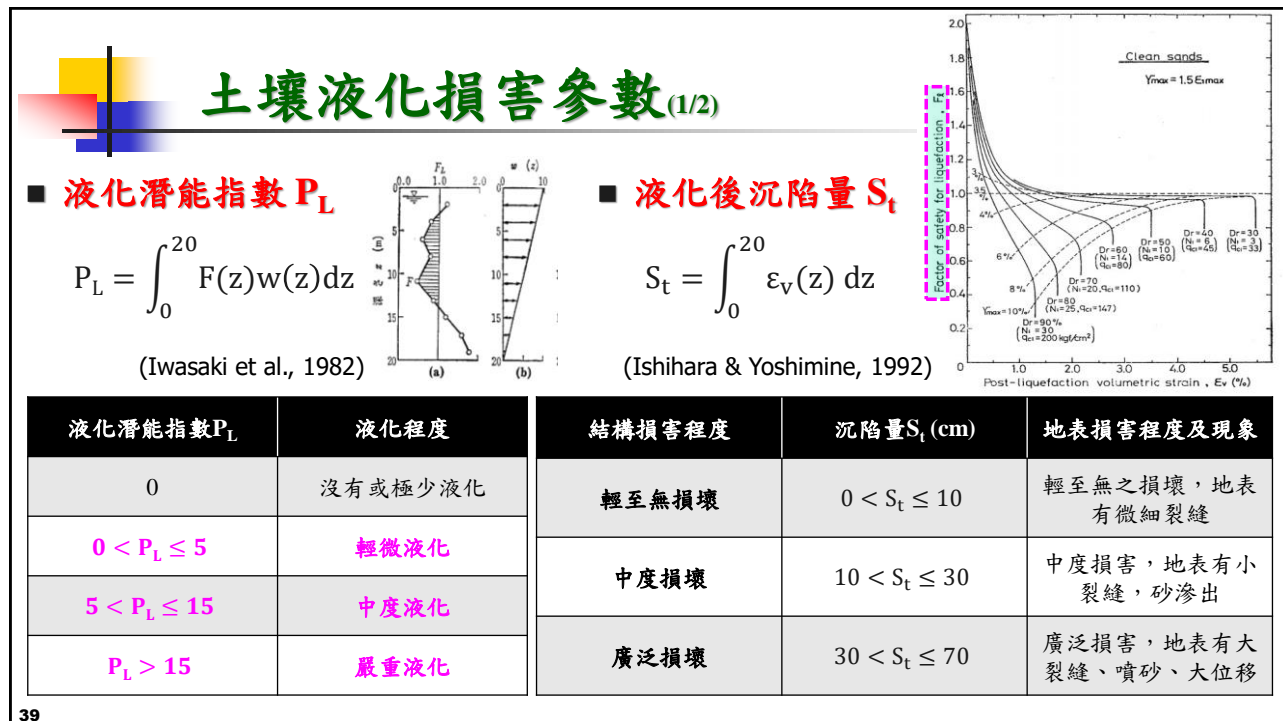
液化分析之鑽孔及水位分佈

國內常用SPT-N簡易液化潛能評估法比較

| 評估方法 | Seed法 (NCEER修正版) | T-Y法 | JRA法 |
|----------------------|--|---------------------------------------|-------------------------------------|
| 地震特性參數 | a_{max} , M | a_{max} , M | a_{max} |
| 土壤特性參數 | N , FC, σ'_{v0} | N , FC, γ , σ'_{v0} | N , D_{50} , FC, σ'_{v0} |
| SPT能量比(%) | 60 | 80 | 72 |
| 反復強度 | 周數 | 15 | 15 |
| | 雙振幅 軸向應變 (%) | 5 | 2.5~7.5 |
| 地震規模比率因子(MSF) | $(M_w/7.5)^{-2.56}$ | 直接在CSR表達式考慮 | 隱含在 $a_{max}=f(M, R)$ 中 |
| 細料含量修正(ΔN) | $f_1((N_1)_{60}, FC)$ | $f_2(FC)$ | $f_3(N_1, FC)$ |
| 有效覆土壓力修正(C_N) | $2.2/(\sigma'_{v0}/Pa + 1.2) \leq 1.7$ | $1.7/(\sigma'_{v0}/Pa + 0.7)$ | $1.7/(\sigma'_{v0}/Pa + 0.7)$ |
| 應力折減係數(r_d) | $f(z)$ | $1-0.015z$ | $1-0.015z$ |
| 剪應力特性 | 等值均勻振幅 | 等值均勻振幅 | 最 大 值 |
| 方法特性 | 半經驗法 | 半經驗法 | 半經驗法 |
| 驗證方法 | 現場液化與否資料 | 現場液化與否資料 | 現場FS分布資料 |
| 安全係數 | 1.25~1.5 | 1.5 ($N_1 \leq 10$) 1.3 (中度及緊密砂) | 1.0 |
| 相關空間損害指數 | — | — | I_L 或 P_L |
| 參考文獻 | Seed et al. (1985) Youd et al. (2001) | Tokimatsu & Yoshimi (1983) | 日本道路協會 (1990, 1996) |



(黃富國, 2008) (彭振聲等人, 2018)



土壤液化機率 (1/2)

■ 邏輯迴歸液化機率模式 (黃富國, 2008)

□ JRA form

$$P_{Liq} = \frac{1}{1 + \exp\{-[8.1 - 0.236(N_a)_{72} + 4 \ln(CSR_{JRA})]\}}$$

□ T-Y form

$$P_{Liq} = \frac{1}{1 + \exp\{-[10.652 - 0.287(N_a)_{80} + 3.833 \ln(CSR_{T-Y})]\}}$$

□ Seed form

$$P_{Liq} = \frac{1}{1 + \exp\{-[10.097 - 0.245(N_1)_{60,cs} + 3.757 \ln(CSR_N)]\}}$$

土壤液化機率 (2/2)

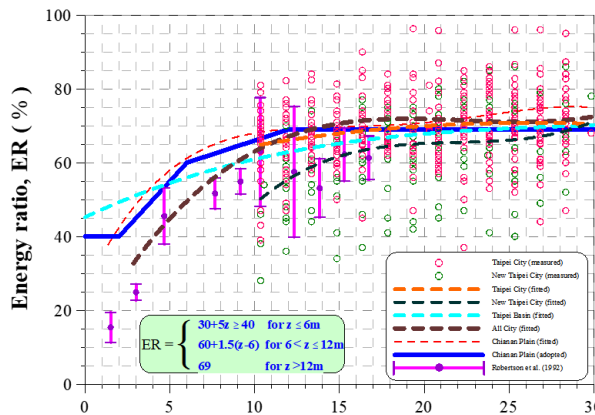
■ 貝氏映射液化機率模式 (黃富國, 2008; Juang et al., 2002)

$$P_{Liq} = \frac{1}{1 + \left(\frac{FS}{A}\right)^B}$$

| 評估法 | 迴歸係數 | |
|-----------------------|--------|--------|
| | A | B |
| SPT評估法 (黃富國, 2008) | Seed 法 | 0.8068 |
| | T-Y 法 | 0.8828 |
| | JRA 法 | 0.8031 |
| | 3.9624 | 4.7776 |
| | 4.1356 | |

考慮過壓密效應之液化潛能與損害評估

$$ER = 45.229 + 2.157z - 0.066z^2 + 0.00072z^3$$

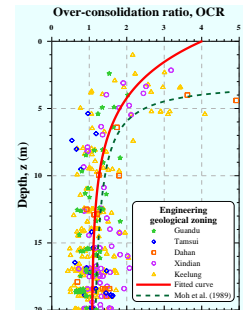


臺北盆地 鐵桿能量比 ER 與深度 z 之迴歸關係

考慮過壓密效應之抗液化安全係數

$$FS = \sqrt{OCR}$$

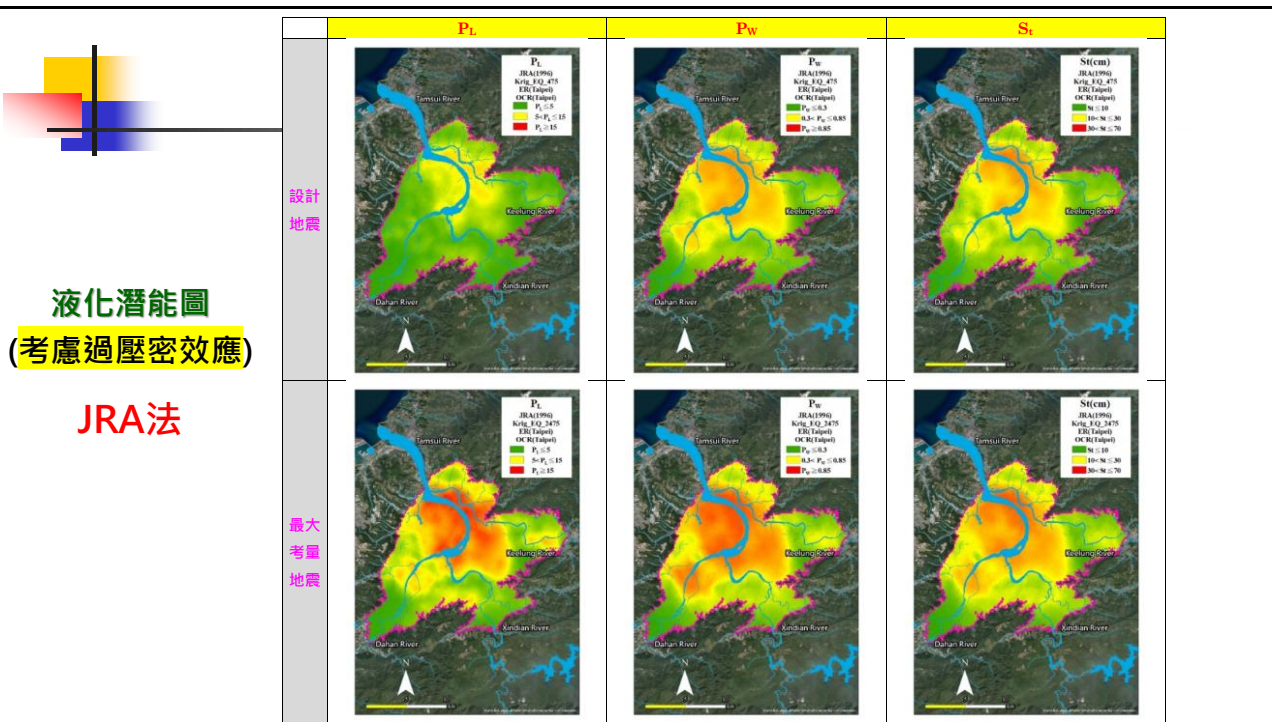
$$\frac{CRR}{CSR}$$

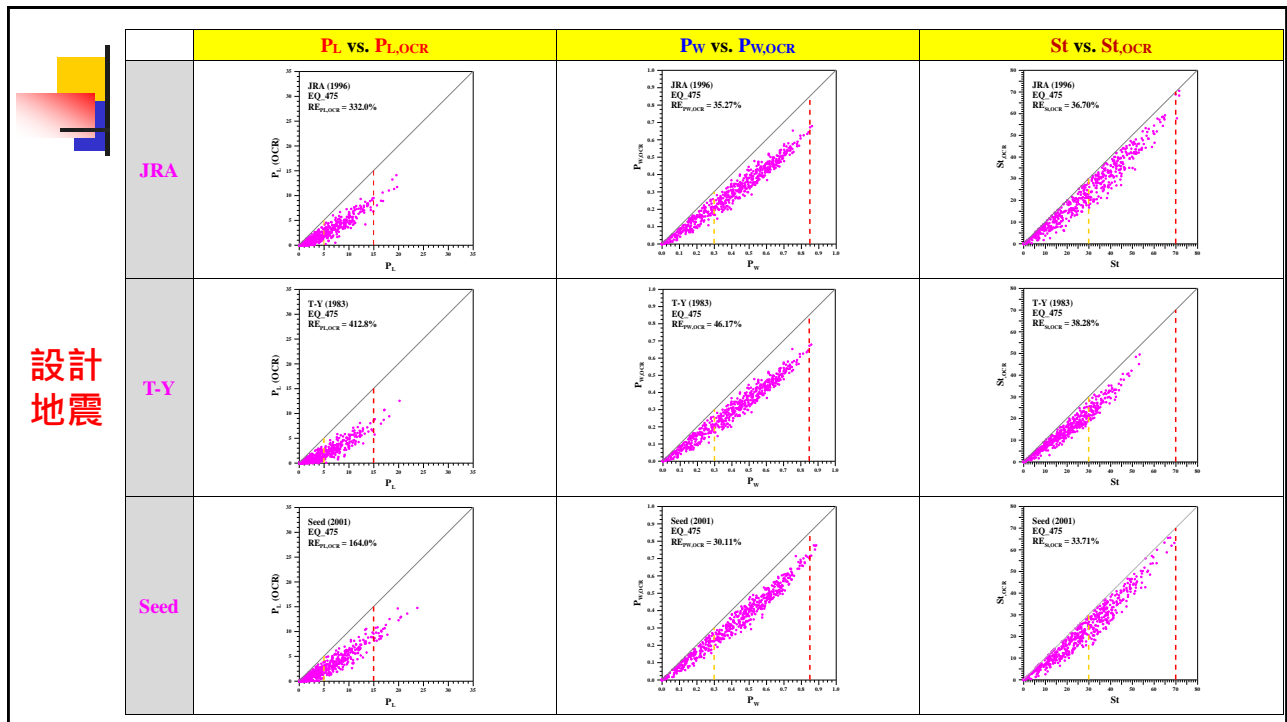
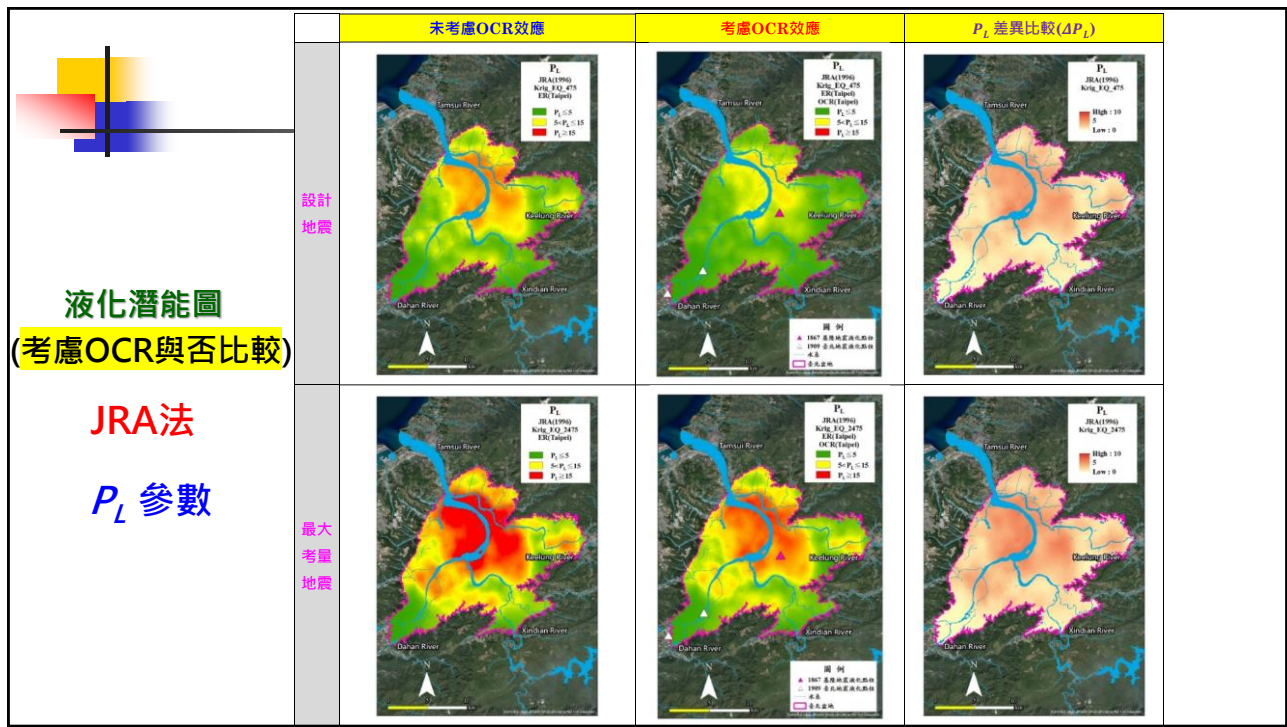


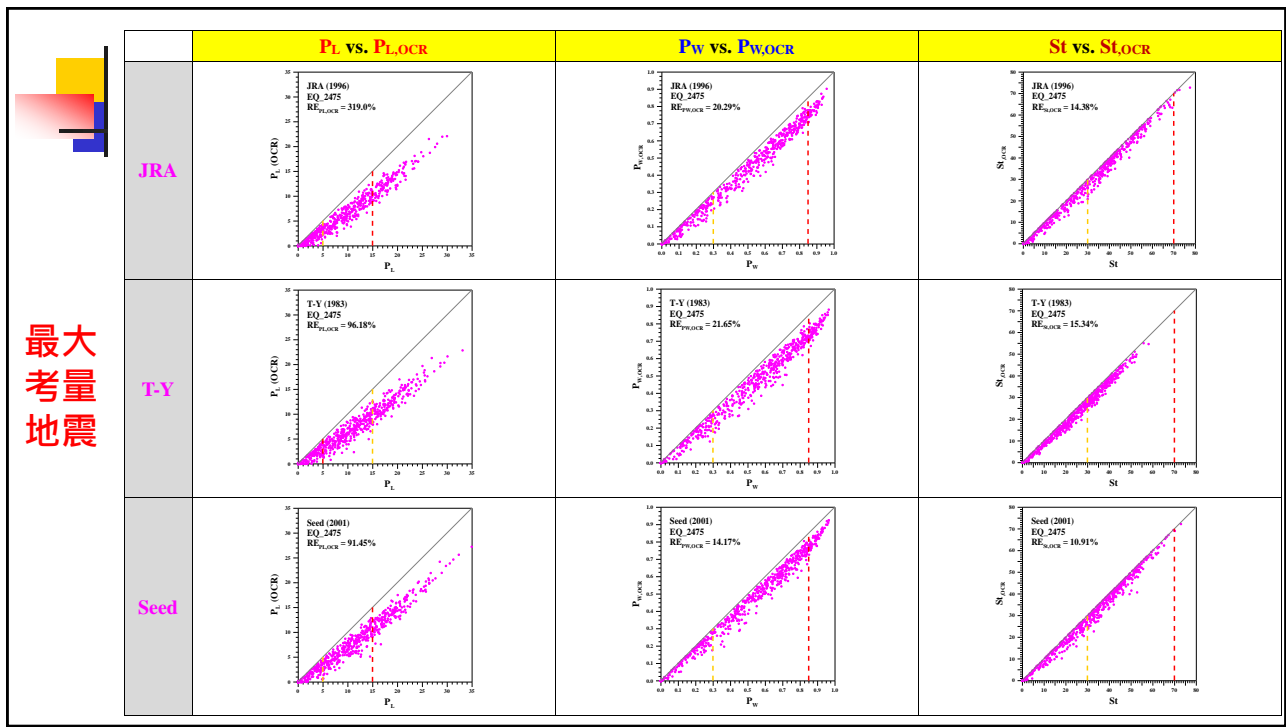
相對誤差(或相對保守程度)

$$\Delta P_L = P_L - P_{L,OCR}$$

$$RE_{PL,OCR}(\%) = \frac{P_L - P_{L,OCR}}{P_{L,OCR}} * 100\%$$



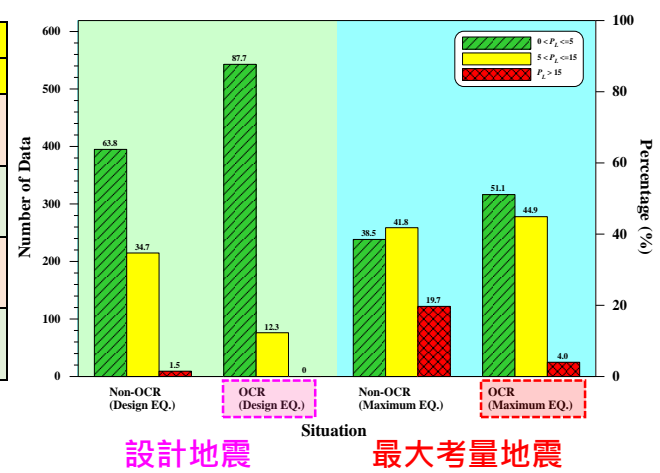




最大
考量
地震

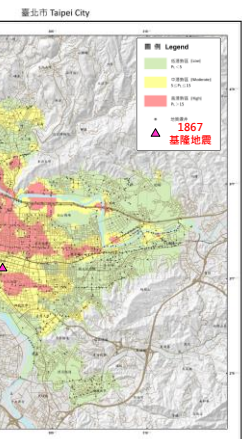
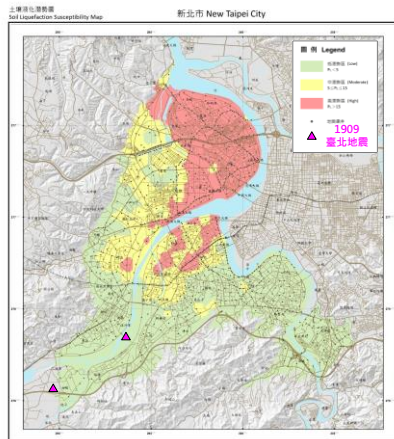
考慮OCR效應與否對液化潛能分級之影響

| 地震 境況 | OCR效應 | 液化潛能分級 | | |
|----------------|--------------|-----------------------|------------------------|-----------------|
| | | 低($0 < P_L \leq 5$) | 中($5 < P_L \leq 15$) | 高($P_L > 15$) |
| 設計 地震 | 未考慮 OCR效應 | 395 (63.8%) | 215 (34.7%) | 9 (1.5%) |
| | 考慮 OCR效應 | 543 (87.7%) | 76 (12.3%) | 0 (0%) |
| 最大 考量 地震 | 未考慮 OCR效應 | 238 (38.5%) | 259 (41.8%) | 122 (19.7%) |
| | 考慮 OCR效應 | 316 (51.1%) | 278 (44.9%) | 25 (4.0%) |



液化潛能分級與歷史液化案例對比

新北市



台北市

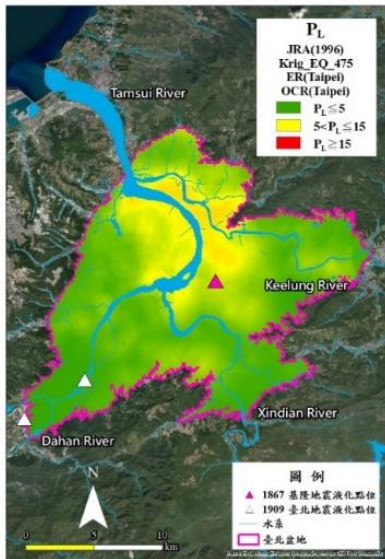
| 地震 | 發震日期 | 震矩規模 (M _w) | 地震規模 (M _L) | 液化位置 | 液化表現 |
|------|------------|---------------------------|---------------------------|--------|------------------------|
| 基隆地震 | 1867/12/18 | 7.0 | 6.8 | 臺北市中正區 | 地裂 |
| 臺北地震 | 1909/04/15 | 7.4 | 7.0 | 新北市土城區 | 堤防及護岸工程崩壞 道路回填地龜裂二處 |

(鄭世楠, 2020)

液化潛能分級與歷史液化案例對比

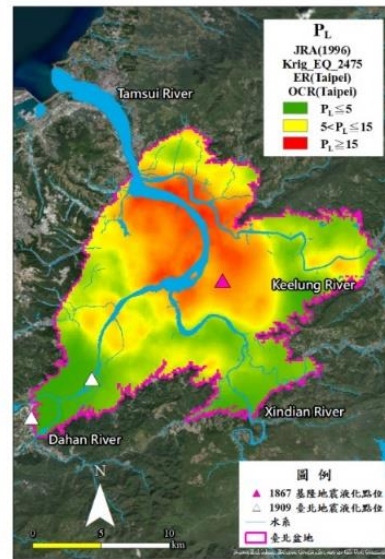
設計地震

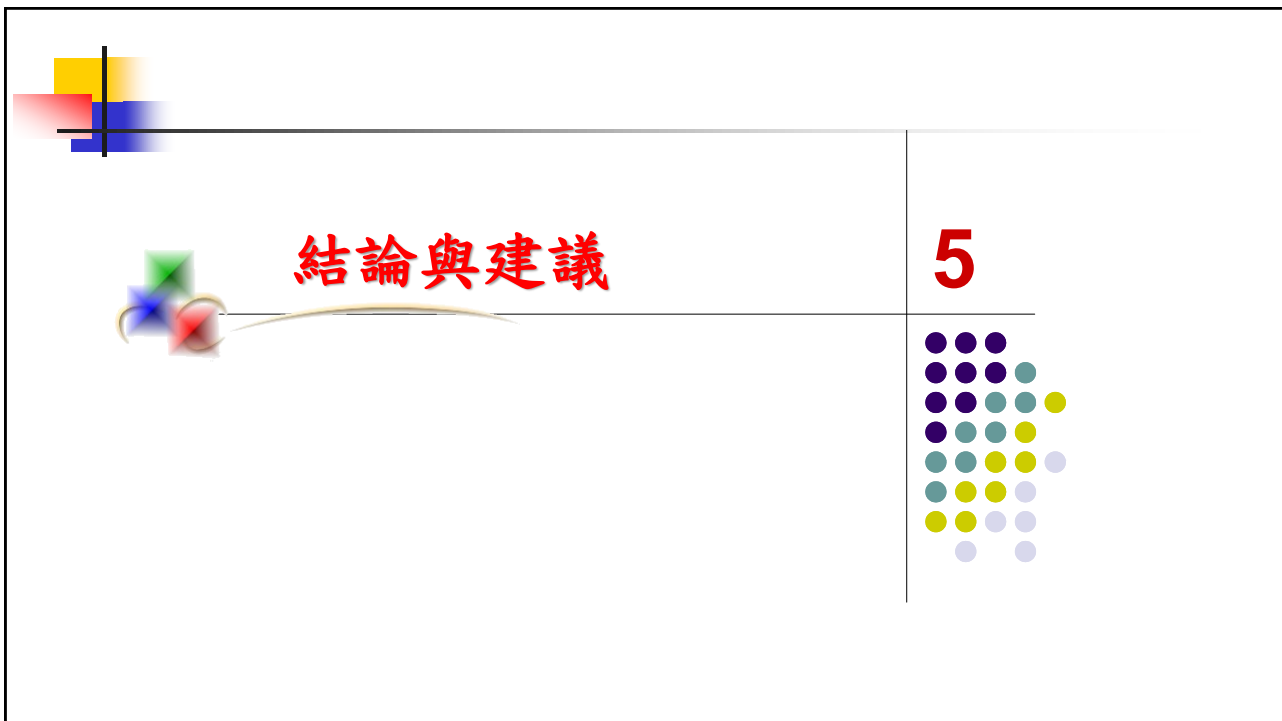
(考慮過壓密效應)



最大考量地震

(考慮過壓密效應)





結論與建議

5

結論與建議 (1/3)

- ◆ 由於土壤液化易發生於近地表20m深度範圍內，由此過壓密現象所引致之土層平均圍壓增加，及土壤組構之強化效應，過去並未適當反映於土壤液化潛能及損害程度之評估上，值得關注。
- ◆ 不論非塑性土壤或塑性土壤，土壤之抗液化強度CRR均隨過壓密比OCR之增加而增加。對具液化潛勢之非塑性土壤而言，CRR可依與過壓密比平方根 \sqrt{OCR} 成正比進行推估；對可能發生反復流動性之塑性土壤而言，當土壤之塑性及可壓縮性增加時，過壓密對CRR之影響更形顯著，亦即，過壓密效應也可降低土壤強度受震減弱可能引致之危害。因此，將過壓密效應納入液化評估考量，有其積極意義。

結論與建議 (2/3)

- ◆ 根據本研究納入過壓密效應考慮之設計地震情境分析結果，可發現**臺北盆地**原屬高液化潛勢之場址，全部降低為中潛勢，而中潛勢場址之比例則降低了22.4%，低潛勢場址之比例對應增加了23.9%，可見**過壓密對降低液化潛在危害具有顯著效應，對液化潛勢分級具有明顯影響**。另於最大考量地震情境時，高潛勢場址之百分比大幅降低了15.7%，顯示當地震作用力較大時，過壓密效應對降低高潛勢場址所可能產生之嚴重液化危害功效特別顯著。

結論與建議 (3/3)

- ◆ 與北台灣過去二次強震引致之歷史液化點位作對比，本研究成果較地礦中心目前所公告之土壤液化潛勢圖資合理，因臺北盆地過去並未有大區域明顯液化之歷史紀錄。然而，對照所蒐集之三處液化點位案例，皆係發生於分析成果之中低液化潛勢區域，顯見目前慣用之簡易液化評估法仍有不足之處，所以除**建議將過壓密OCR效應納入液化評估考量之外，後續仍須對影響液化潛能及損害之其他可能因素，持續深入研究與探討！**



聯絡&交流方式: 黃富國 教授
淡江大學水資源及環境工程學系
(25137) 新北市淡水區英專路151號
Tel: (02)2621-5656 Ext. 2750
(M) 0928-666-235
E-mail: fkhuang@mail.tku.edu.tw